

ま之がき 水路の形状や側壁などの性質が甚だしく複雑な場合には、厳密解法とされている特性曲線法や差分法などにより洪水を追跡することが困難である。本て追跡を試みようとするとき河底貯留法、例えばマスキンガム法などに頼らなければならぬ。この解法は簡便法であり、近似波形で追跡距離が短ければ適合性が良いが、波形が異なるたり、波長に比べて追跡距離が大きくなると追跡が困難となる。また、これらは、水理学的に多くの仮定があり必ずしも論理的に合理的な解法とは限らない。

本報ではむしろ、このような疑問は理論や仮定を極力避け、不明な部分は不明な部分として認め、この部分を「ブラックボックス」と考え、ブラックボックスの中身を解明したうえで分析したりせず、入力波と出力波の測定値のみが信頼できる唯一の事実とみなし、これらを分析することによってブラックボックスの効果のみを解明し複雑な水路における洪水波を追跡することを試みる。

### 1. 理論的考察

水路の上流端より洪水波が流入すれば、その下流端より変形された到達波が流出する。この水路が複雑であればある程、この洪水波を理論的に追跡することは困難である。しかし、この水路部分の計算が困難であつても入力波があらば必ずある法則に従って到達波が下流端より流出して来る。したがって、たとえこの部分が計算不可能な部分（「ブラックボックス」）だとしても、入出力波の資料を丹念に分析すれば少なくとも分析用の資料の範囲の洪水追跡は可能なはずである。図-1は水路の上流端より洪水波が流入し下流端より到達波が流出する場合の模式図である。前者を入力波、後者を出力波としてさらに一般化して模式化すれば、図-2のよう

に表わすことができ

$$\text{入力} : Q = Q(t)$$

$$\text{出力} : Q' = Q'(t')$$

$$\text{媒介変数} : t' = K(t)$$

のように考えることができる。

ここで出力波の時刻 $t'$ を図-3のように入出力波の八ドログラフを区間分けし、端から順に同順位の区間の面積が等しくなるように入力波の時刻 $t$ に対応させると、同図または図-4より次式が成立する。

$$Q dt = Q' dt' \quad \therefore \quad Q' = \frac{1}{R(t)} Q(t)$$

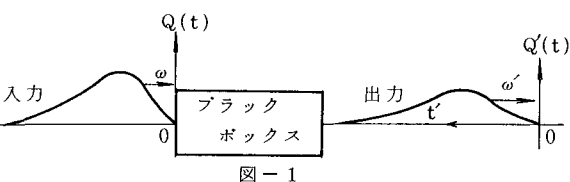


図-1

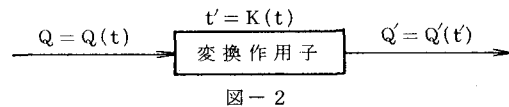


図-2

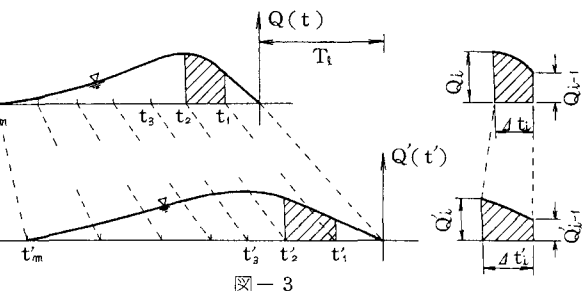


図-3

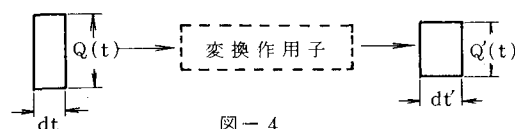


図-4

ここで

$$R(t) = \frac{dt'}{dt} = \frac{Q(t)}{Q'(t')}$$

$$R(t) = \frac{1}{dt} K(t)$$

$$t' = \int R(t) dt$$

洪水波の資料より、たとえするなど既が求まれば表-1のようにして  $R_1(t)$ ,  $R_2(t)$ ,  $R_3(t)$  などが求め

られる。また、海に、 $R$ が既知であれば入力波より出力波(到達波)が算出できる。

$$\text{注) } R_1 = \frac{4t_i'}{4t_i}, \quad R_2 = \frac{\bar{Q}_i}{Q_i}, \quad R = \frac{1}{2}(R_1 + R_2)$$

$f(t)$  は

$Q_{max}$  : 最大流量

$T_1$ ：增水継続時間

$T_2$ ：減水繩繞時間

T<sub>d</sub>: 洪水到達時間

$\frac{d\sigma}{dt}$ , t etc.

などの関数と考えられるが、洪水波の規模や波形が定まれば

ば、それだけの洪水波に対応してある底までの力のみの関数となる。したがって、表-2のようにパターン分けされた洪水波(緩変流の不定流)の資料を分析し、それだけに対応する  $R(t)$  を求めておけば同種の洪水波に対しては大きな変化はない。と考えられるから、洪水追跡が可能となる。

## 2. 計算法

入力波 $Q_1$ の測定時間 $t_{oj}$ と同時時間間隔( $\Delta t_{oj} = \Delta t_{in}$ )で測定した場合の $t_{oj}, D_{oj}$ より図-3の如く、 $t_{in}$ に対応する $t_{oj}$ 、 $D_{oj}$ は次のようにして求められる。

$$\Delta V_i = \bar{Q}_i \cdot \Delta t_i \quad , \quad V_0 = \sum_j \bar{Q}_{0j} \cdot \Delta t_{0j}$$

のとき、V<sub>0</sub>がはじめて

$$V_0 \geq \sum_{i=1}^k \alpha_i V_i$$

の条件を満足したとすれば、図-1を参照して次式以下が成立する。

$$\Delta Q_{obj} = Q_{obj} - Q_{obj-1}, \quad \Delta t_{obj} = t_{obj} - t_{obj-1}$$

$$Q_i = Q_{obj} - \frac{\Delta \Theta_{ij}}{\Delta t_{obj}} \cdot \Delta t_{lo}, \Delta V_0 = \frac{st_0}{2} (2Q_{obj} - \frac{\Delta \Theta_{ei}}{\Delta t_{obj}} \cdot \Delta t_{lo})$$

$$\therefore (\Delta t_0)^2 - 2b \cdot \Delta t_0 + c = 0$$

$$\text{für } U, \quad b = \frac{4 \cdot t_{obj}}{4 \cdot \theta_{obj}} \cdot \theta_{obj}, \quad c = \frac{2 \cdot 4 \cdot t_{obj} \cdot \Delta V_0}{4 \cdot \theta_{obj}}$$

$$\Delta t_0 = b \pm \sqrt{b^2 - c}$$

たゞし、 $\Delta t_0$  の式中の複号は  $\Delta \theta_{ij} > 0$  の場合(-)で、 $\Delta \theta_{ij} < 0$  の場合(+)である。

$\Delta\theta_{0j} = 0$  の場合は、図-6を参照して式(1)は次式となる。

$$\Delta t_0 = \frac{\Delta V_0}{\bar{Q}_{0j}}$$

以上により、 $R(t)$  の計算法をフロー図で示すと図-7となる。

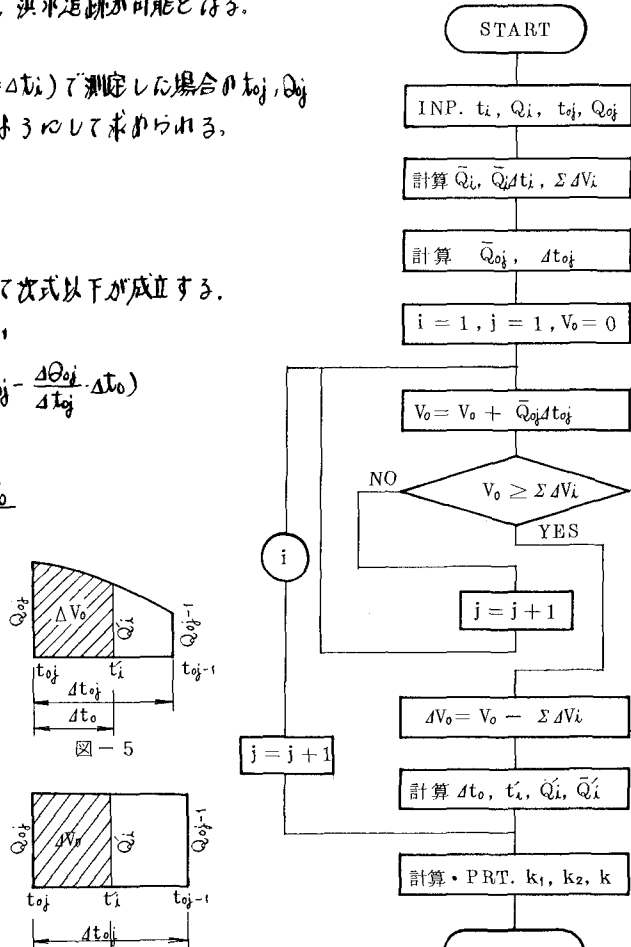
参考文献

安田衡輔：複雜な水路における洪水追跡法の一提案，第27回日大工学部学術研究報告会講演集，1984.12

表一

最大流量 $Q_{\max}$	波長 T	継続時間比 $T_2/T_1$
大	長	大 参) 2
中	中	中 3
小	短	小 5

表一 2



四